

01:05

©1993 г.

## ГЕНЕРАЦИЯ ГАРМОНИК В КЕРАМИЧЕСКИХ ВТСП

*А.Ю.Монахов, А.М.Сатанин*

Джозефсоновская сеть слабых связей в керамических ВТСП обуславливает ряд нелинейных электродинамических эффектов. В работе исследована генерация гармоник, возбужденных в керамиках переменным магнитным полем. В рамках петлевой модели вычислена излучаемая мощность и исследованы ее статистические характеристики. Показано, что излучение является когерентным. Выполнено численное моделирование излучения статистическим ансамблем петель. Приведены оценки излучаемой мощности и проведено сравнение с имеющимися экспериментальными данными.

В керамических ВТСП естественным образом формируется джозефсоновская сеть слабых связей, которая обусловлена их гранулярной структурой. Джозефсоновская сеть экспериментально проявляется в ряде эффектов: различном поведении магнитной восприимчивости в переменном и постоянном магнитных полях [1], нерезонансном поглощении микроволнового излучения в слабых полях [2], нелинейной ВАХ вида  $V \sim I^\mu$  [3,4], нелинейных электродинамических эффектах [5-7] и др.

Наблюдение в работах [5-7] генерации гармоник ставит вопрос о теоретическом исследовании этого эффекта. Краткое содержание результатов данной работы изложено в [8].

Экспериментально структура джозефсоновской сети изучена мало. Основные закономерности "стекольного" поведения в гранулярных сверхпроводниках могут быть поняты в рамках модели непересекающихся петель [9]. Данная модель может быть обоснована путем построения кластерного разложения при вычислении термодинамических величин. В [9] полагалось, что основной вклад в термодинамические величины дают плоские петли, различающиеся величинами площадей и их ориентацией. Модель плоских петель качественно правильно описывает термодинамические свойства гранулярных сверхпроводников [9] и керамических ВТСП [1,10].

В данной работе модель петель привлекается для объяснения генерации гармоник в ВТСП. Будем полагать, что в керамике имеются замкнутые петли для протекания тока, содержащие определенное число слабых связей с критическим током  $I_c$  и имеющие характерную площадь  $S_0$ . Размер петли  $a \sim S_0^{1/2}$  будем считать малым по сравнению с расстоянием

между петлями и длиной волны  $\lambda$ . Контур петли образуют соседние границы, так что  $a = 0.1 - 1$  мкм.

Ансамбль петель можно характеризовать функцией распределения, которая определяет вероятность реализации данной конфигурации петель. Ниже будет показано, что на больших расстояниях излучаемая мощность определяется более простыми характеристиками ансамбля: инвариантной площадью и ориентацией петли. Излучаемую мощность удастся выразить через эти характеристики и исследовать ее статистические свойства.

Возбуждение токов в петлях осуществляется переменным магнитным полем [5-7]. Джозефсоновская система играет важную роль в экранировке поля, а задача о вычислении глубины проникновения должна решаться самосогласованным образом. В линейном приближении глубина экранирования  $\lambda_J$  вычислялась в [11], где получена оценка  $\lambda_J \sim 10^{-3}$  см. Поскольку  $a \ll \lambda_J$ , то для пленок толщиной  $\sim \lambda_J$  и порошков с размером зерен  $\sim \lambda_J$  задачу о генерации излучения можно рассматривать считая поле внешним. Для массивных образцов мы ограничимся оценкой эффективного числа петель в поверхностном слое толщиной  $\sim \lambda_J$ .

Будем полагать, что джозефсоновский ток в петле индуцируется внешним магнитным полем

$$H + H_1 \sin \omega t. \quad (1)$$

Пусть в петле имеется только одна существенная слабая связь. Тогда ток в петле

$$I = I_c \sin \left( 2\pi \frac{\Phi}{\Phi_0} \right), \quad (2)$$

где  $\Phi$  — полный магнитный поток через петлю,  $\Phi_0$  — квант потока.

Фурье-компонента векторного потенциала, созданного током (2) в петле, при  $R \gg a$  имеет вид

$$A_n = \frac{I_n}{cR} e^{-ik_n R} \oint dl e^{ik_n \cdot re}, \quad (3)$$

где  $k_n = n\omega/c$ ;  $e$  — единичный вектор, направленный в точку наблюдения;  $I_n$  — фурье-компонента тока.

Интеграл в (3) берется по контуру петли. Фурье-компонента тока определяется выражением

$$I_n = I_c J_n \left( 2\pi \frac{S H_1}{\Phi_0} \right) \cdot \left\{ \begin{array}{ll} \sin \left( 2\pi \frac{H S}{\Phi_0} \right), & n = 2k \\ -i \cos \left( 2\pi \frac{H S}{\Phi_0} \right), & n = 2k + 1 \end{array} \right\}, \quad (4)$$

где  $J_n(x)$  — функция Бесселя;  $S$  — площадь проекции петли на плоскость, перпендикулярную полю.

Естественно считать, что петли с максимальной проекцией  $S$ , значительно превышающей  $S_0$ , встречаются редко. Тогда при характерном значении аргумента  $2\pi S_0 H / \Phi_0$  в силу известного поведения функций Бесселя гармоники с большими значениями номера будут сильно подавлены. Максимальный номер излучаемой гармоники можно оценить соотношением

$$n_{\max} \sim \frac{4S_0 H_1}{\Phi_0}.$$

Например, в [5-7]  $H_1 \sim 10 \text{ Э}$ , и если  $S_0 \sim 10^{-8} \text{ см}^2$ , то  $n_{\max} \sim 1-10$ . Таким образом, номер гармоники в (3) ограничен и справедливо неравенство  $k_n a = 1 \pi a n / \lambda \ll 1$ . При этом (3) сводится к

$$\mathbf{A}_n = \frac{ik_n I_n}{c} S_{\perp} [\mathbf{n} \times \mathbf{e}] e^{-ik_n R}, \quad (5)$$

где  $S_{\perp}$  и  $\mathbf{n}$  определены соотношением

$$\frac{1}{2} \oint [\mathbf{r} \times d\mathbf{l}] = S_{\perp} \mathbf{n}.$$

Выражение (5) соответствует магнитно-дипольному приближению. В этом приближении электромагнитное поле определяется двумя геометрическими характеристиками: инвариантной площадью петли  $S_{\perp}$  и единичным вектором  $\mathbf{n}$ . Вектор  $\mathbf{n}$  нормален к плоскости, на которую площадь петли имеет максимальную проекцию  $S_{\perp}$ . Площади  $S_{\perp}$  и  $S$  связаны простым соотношением  $S = S_{\perp} (\mathbf{n} \mathbf{e}_z)$ ,  $\mathbf{e}_z \parallel \mathbf{H}$ .

Фурье-компонента магнитного поля, излучаемого петлей, при  $R \gg a$  имеет вид

$$\mathbf{H}_n = \frac{k_n^2 I_n S_{\perp}}{cR} e^{-ik_n R} \boldsymbol{\sigma}, \quad \boldsymbol{\sigma} = \mathbf{n} - \mathbf{n}(\mathbf{n} \mathbf{e}). \quad (6)$$

Используя (6), нетрудно найти излучаемую мощность в элемент телесного угла  $d\Omega$  ансамблем из  $N$  петель

$$dw_n = \frac{k_n^4}{c} \sum_{a,b} I_n^a I_n^{*b} S_{\perp}^a S_{\perp}^b \sigma_a \sigma_b \cos k(R_a - R_b) \frac{d\Omega}{4\pi}. \quad (7)$$

Выражение (7) содержит  $N$  слагаемых, описывающих некогерентное излучение, и  $N(N-1)/2$  слагаемых, описывающих когерентное. Так как длина волны велика по сравнению с расстоянием между петлями, то в (7) положим  $\cos k(R_a - R_b) \simeq 1$ . Полную излучаемую мощность запишем в виде

$$w_n = A |\mathbf{u}_n^2|, \quad A = \frac{2}{3c} (k^2 S_0) I_c^2, \\ \mathbf{u}_n = n^2 \sum_a I_n^a S_{\perp}^a \mathbf{n}_a / I_c S_0. \quad (8)$$

Мощность, излучаемая ансамблем петель, испытывает флуктуации. Функцию распределения  $P(w_n) = \langle \delta(w_n - w_n(\{S_{\perp}\}, \{\mathbf{n}\})) \rangle$  нетрудно вычислить при больших  $N$  методом стационарной фазы. Несложный расчет дает в главном приближении по  $N$

$$P(w_n) = \frac{1}{\sqrt{2\pi}} \sigma_n \exp \left\{ -\frac{(w_n - \langle w_n \rangle)^2}{2\sigma_n^2} \right\}, \quad (9)$$

где

$$\langle w_n \rangle = AN^2 \langle u_n^2 \rangle, \quad (10)$$

$$\sigma_n^2 = 4 \langle w_n \rangle N \left( \langle (u_n^z)^2 \rangle - \langle u_n^2 \rangle \right). \quad (11)$$

В (10) и (11) введены следующие обозначения:

$$\langle u_n \rangle = n^2 \int dS_{\perp} \rho(S_{\perp}) \frac{S_{\perp}}{S_0} \int_0^{2\pi} d\theta \sin \theta \cos \theta \times \\ \times J_n \left( \frac{2\pi H_1 S_{\perp}}{\Phi_0} \cos \theta \right) f_n \left( \frac{2\pi H S_{\perp}}{\Phi_0} \cos \theta \right), \quad (12)$$

$$\langle (u_n^z)^2 \rangle = \frac{n^4}{2} \int dS_{\perp} \rho(S_{\perp}) \left( \frac{S_{\perp}}{S_0} \right)^2 \int_0^{2\pi} d\theta \sin \theta \cos^2 \theta \times \\ \times J_n^2 \left( \frac{2\pi H_1 S_{\perp}}{\Phi_0} \cos \theta \right) f_n^2 \left( \frac{2\pi H S_{\perp}}{\Phi_0} \cos \theta \right), \quad (13)$$

где  $f_n(x) = \sin x$  для четной и  $f_n(x) = \cos x$  для нечетной гармоники,  $\rho(S_{\perp})$  — функция распределения площадей  $S_{\perp}$ , распределение векторов  $n$  считается изотропным.

Таким образом, среднее значение мощности (при больших  $N$ )  $\langle w_n \rangle \sim N^2$ , а среднеквадратичная флуктуация  $\sigma_n \sim N^{3/2}$ . При больших  $N$  мощность будет самоусредняющейся величиной, если  $\sigma_n/w_n \ll 1$ . Величины  $w_n$  и  $\sigma_n$  зависят, в частности, от постоянного магнитного поля  $H$ . Из (12) следует, что при  $H \ll \Phi_0/S_0$  мощность  $\langle w_n \rangle = \langle w_n(0) \rangle - \langle w_n''(0) \rangle H^2/2$  для нечетных гармоник и  $\langle w_n \rangle = \langle w_n'(0) \rangle H$  для четных. При  $H \gg \Phi_0/S_0$  подынтегральное выражение в (12) сильно осциллирует, меняя знак, что приводит к резкому уменьшению мощности. Выражение (13) содержит квадрат осциллирующей функции и при  $\Phi_0/S_0 \ll H$  перестает зависеть от  $H$ . Следовательно, относительная флуктуация  $\sigma_n/\langle w_n \rangle$  будет возрастать с ростом поля  $H$  и при заданном  $N$  может стать порядка единицы. Для иллюстрации приведем результаты численного расчета  $w_n$ , исходя непосредственно из выражения (8). Численным методом был сформирован ансамбль петель с гауссовским распределением площадей

$$\rho(S_{\perp}) = \frac{1}{\sqrt{2\pi}D} \exp \left\{ -(S - \langle S \rangle)^2 / 2D^2 \right\}, \quad (14)$$

( $\langle S \rangle = 0.5S_0$ ,  $D^2 = 0.5S_0^2$ ) и изотропным распределением векторов  $n$ . Результат расчета мощности для некоторой реализации с  $N = 20000$  приведен на рис. 1 ( $n = 1$ ). Там же приведена  $\langle w_1 \rangle$ , рассчитанная согласно (11). Как видно из рис. 1, начиная с полей  $H \simeq 35$  Э кривые существенно расходятся. При больших  $N$  отличие усредненной мощности от истинной будет в полях, значительно превышающих  $\Phi_0/S_0 \sim 10$  Э. Поэтому (10) может быть использовано для интерпретации экспериментов с керамическими образцами. Согласно (10) и (11) (при больших  $N$ ),  $\ln(\langle w_n \rangle/N^2)$  и  $\ln(\sigma_n/N^{3/2})$  не зависят от числа петель. Тем самым они в рамках рассматриваемой модели являются универсальными функциями. Зависимость этих величин от поля  $H$  приведена на рис. 2 и 3 для гармоник с  $n = 1, 2$  и 3. Наличие осцилляций у гармоник с большими номерами наблюдалось в [7].

Получим оценку мощности, излучаемой керамическим образцом. Число эффективно участвующих в генерации петель, приходящихся на  $1 \text{ см}^2$

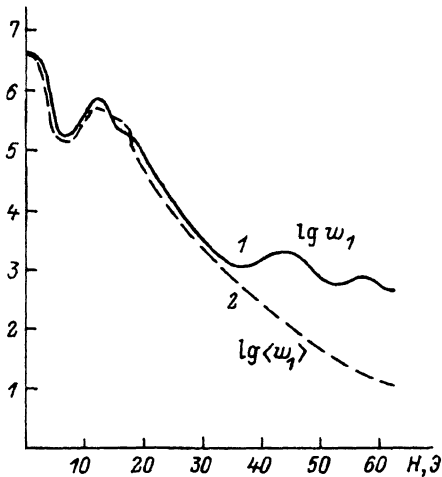


Рис. 1. Излучаемая мощность на первой гармонике для некоторой реализации из ансамбля петель ( $N = 20\,000$ ) (1) и усредненная мощность (2) как функции внешнего магнитного поля.

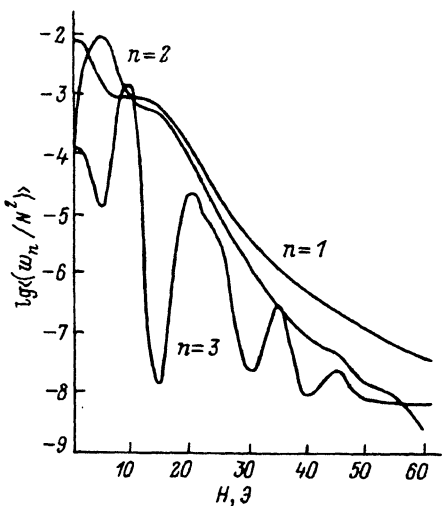


Рис. 2. Зависимость усредненной по ансамблю излучаемой мощности от внешнего магнитного поля для гармоник с  $n = 1, 2, 3$ .

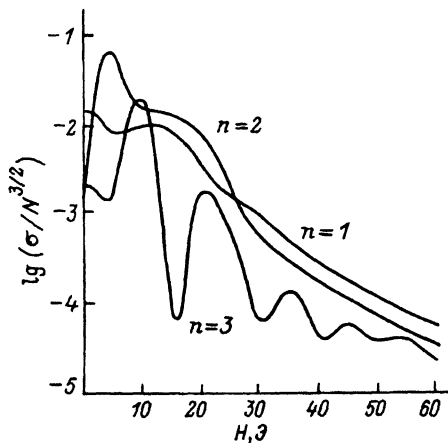


Рис. 3. Зависимости среднеквадратичного отклонения  $\sigma_n$  от внешнего магнитного поля для гармоник с  $n = 1, 2, 3$ .

поверхности,  $N \sim \lambda_J/a^3 \sim 10^9$ . Согласно [12],  $I_c \sim 100$  мкА. Для длины излучаемой волны  $\lambda \sim 1$  см,  $\langle S \rangle \sim 4S_0$  мощность первой гармоники  $w_1 \sim 10^{11}$  Вт. Если бы излучение было некогерентным, то ее величина  $w_1 \sim 10^{-20}$  Вт, что значительно меньше чувствительности детектора [5].

Таким образом, при сделанных выше предположениях излучение ансамбля петель оказывается когерентным. Обсудим факторы, нарушающие когерентность. В радиочастотном [6,7] и СВЧ диапазонах [5] уменьшение мощности в основном будет связано со случайной ориентацией петель и случайными площадями. Поскольку петли могут содержать несколько существенных переходов, включенных последовательно, то это приведет к наличию дополнительных случайных фаз в выражении для

джозефсоновского тока (2) и, следовательно, к уменьшению мощности. Степень когерентности будет зависеть также от взаимодействия между петлями. Расчет корреляционной функции и степени когерентности в более общей ситуации составляет предмет отдельной задачи.

Модель петель, рассмотренная в данной работе, фактически представляет собой систему безынерционных скиндов. Проникновение квантов потока в петлю можно интерпретировать как генерацию вихрей.

В последнее время (см., например, [13]) генерация гармоник изучалась в рамках теории критического состояния. Качественно выводы, следующие из модели критического состояния и модели джозефсоновской среды, совпадают. Модель джозефсоновской среды позволяет описать генерацию вихрей, когерентные эффекты и исследовать статистические свойства среды. В модели критического состояния более последовательно учитывается экранировка внешнего поля. Анализ некоторых экспериментов с точки зрения этих теорий проведен в [14]. В заключение отметим, что наличие когерентного излучения может быть непосредственно проверено экспериментально. Излучаемая мощность должна квадратично зависеть от объема образца. Увеличение мощности можно добиться путем приготовления мелкодисперсной керамики с размером зерен  $\sim \lambda_J$ , а также изготовлением текстурированных пленок с большим числом переходов.

Один из авторов (А.М. Сатанин) весьма признателен Г.И. Левиеву и М.Р. Трунину за многочисленные обсуждения затронутых в работе вопросов.

#### Список литературы

- [1] Müller K.A., Takashige M., Bednorz J.G. // Phys.Rev.Lett. 1987. Vol. 58. N 11. P. 1143-1146.
- [2] Blazey K.W., Müller K.A., Bednorz J.G. et al. // Phys.Rev. B. 1987. Vol. 36. N 11. P. 7241-7243.
- [3] Yomo S., Murayama C., Takahashi H. et al. // Jap. J. Appl. Phys. 1987. Vol. 26. N 5. P. 603-605.
- [4] Kagoshima S., Hikami S., Nogami Y. et al. // Jap. J. Appl. Phys. 1987. Vol. 26. N 5. P. 318-319.
- [5] Абрамов О.В., Левиев Г.И., Погосов В.Г., Трунин М.Р. // Письма в ЖЭТФ. 1987. Т. 47. Вып. 11. С. 433-435.
- [6] Jeffries C., Lam Q.H., Kim Y. et al. // Phys.Rev. B. 1988. Vol. 37. N 16. P. 9840-9843.
- [7] Головашкин А.И., Кузьмичев Н.Д., Левченко Н.С. и др. // ФТТ. 1989. Т. 31. Вып. 4. С. 233-235.
- [8] Монахов А.Ю., Сатанин А.М. // II Всесоюз. конф. по высокотемпературной сверхпроводимости. Киев, 1989. Т. 2. С. 246-247.
- [9] Ebner C., Stroud D. // Phys.Rev.B. 1984. Vol. 30. N 1. P. 134-144.
- [10] Morgenstern I., Müller K.A., Bednorz J.G. // Z. Phys. B. 1987. Vol. 69. N 1. P. 33-47.
- [11] Сонин Э.Б., Таганцев А.К. // ЖЭТФ. 1969. Т. 59. Вып. 3. С. 994-1004.
- [12] Clem J.R. // Physica.C. 1988. Vol. 153-155. P. 50-55.
- [13] Luzyanin I.D., Ginzburg S.L., Khavronin V.P., Logvinova G.Yu. // Phys.Lett. A. 1989. Vol. 141. N 1. P. 85-88.
- [14] Молоземов А.П. // Физические свойства высокотемпературных сверхпроводников. М.: Мир, 1990. Гл. 3. С. 69-162.

Нижегородский университет  
им.Н.И.Лобачевского

Поступило в Редакцию  
5 мая 1991 г.  
В окончательной редакции  
16 марта 1992 г.